

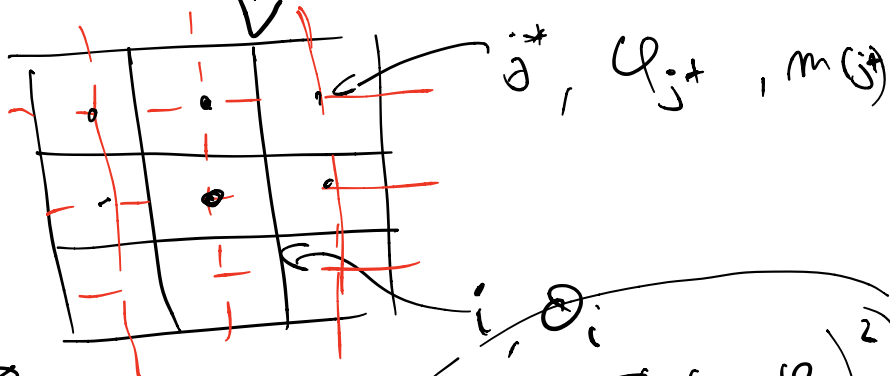
Modelo XY

$$Z = \int_0^{2\pi} d\theta_i e^{\tilde{\beta} \sum_m \cos(\Delta_m \theta)}$$

$\theta_{i+\alpha_m} - \theta_i$

$$\tilde{\beta} = \frac{J}{k_B T}$$

↓
Transf. de dualidad



$$Z \propto \int_{-\infty}^{\infty} d\varphi_{j*} \sum_{i=1}^{+\infty} e^{\left(-\frac{1}{e^{\tilde{\beta}}} \sum_{j*,m} (\Delta_m q_{j*})^2 + 2\pi i \sum_{j*} m(j*) q_{j*} \right)}$$

→ gas de partículas de carga $m(j*)$
interactuando con el potencial de Coulomb.

los partículas representan los vaibres.

$$Z \propto \int_{T_1} d\varphi_j e^{-\frac{1}{2\beta} \sum_{j,m} (\Delta_m \varphi_j)^2} \sum_{\substack{s \\ s(m) \in \mathbb{R}}} e^{2\pi i \sum_s m(s) \varphi_j}$$

aquí la $\sum_{\substack{s \\ s(m(s))}}$ $\rightarrow \sum_{m(s)=0,\pm 1}$

para cada j^* , $m = 0, \pm 1, \pm 2, \dots$

$$Z \propto \int_{T_1} d\varphi_j e^{-\frac{1}{2\beta} \sum_{j,m} (\Delta_m \varphi_j)^2} \left(1 + \sum_{j^*, k^*} e^{2\pi i \varphi_{j^*}} e^{-2\pi i \varphi_{k^*}} \right. \\ \left. + \sum_{j^*, l^*, m^*} e^{2\pi i \varphi_{j^*}} e^{2\pi i \varphi_{l^*}} e^{-2\pi i \varphi_{k^*}} e^{-2\pi i \varphi_{m^*}} \right)$$

$$Z \propto \int_{T_1} d\varphi_j e^{-\frac{1}{2\beta} \dots + \lambda \sum_{j^*} e^{2\pi i \varphi_{j^*}} + \lambda \sum_{k^*} e^{-2\pi i \varphi_{k^*}}}$$

\rightarrow límite al continuo

$$\sum_{j^*, m} (\Delta_m \varphi_{j^*})^2 \rightarrow \int d^2 \vec{r} (\vec{\nabla} \varphi)^2$$

$$Z \propto \int D\varphi(r) e^{-\frac{1}{2\beta} \int_{r_0}^{r_0+L} [(\nabla\varphi)^2 + g \cos(2\pi\varphi(r))] dr}$$

e.g. de maximise

$$\Delta \left(e^{\pm i \varphi} \sin(2\hat{a}^\dagger e) \right) = 0$$

eq. \Leftrightarrow Sine-Gordon.

$$\cos(2\pi \varphi) \rightarrow m^2 \varphi^2$$

$$\Delta \varphi + m^2 \varphi = 0 \quad \text{Helmholtz}$$

↳ Klein-fordon can la metrix

de Lorenz.

$$S = S_0 + \int_{t_0}^t g dt \rightarrow R.G.$$

$$\rightarrow \text{dimensión de escala de } \overline{\Phi_{\infty}} = \cos(2\pi \varphi(\tau))$$

à partir de

$$\langle e^{2\pi i \beta(\delta)} C^{-2\pi i \beta(\eta)} \rangle_{S_0} \sim \frac{1}{1 - e^{-2\pi i \beta}}$$

$$\int_{-\infty}^{\infty} e^{i\omega t} \cos(\omega t) dt = L$$

$$\rightarrow [g] = L^{\pi_B - 2}$$

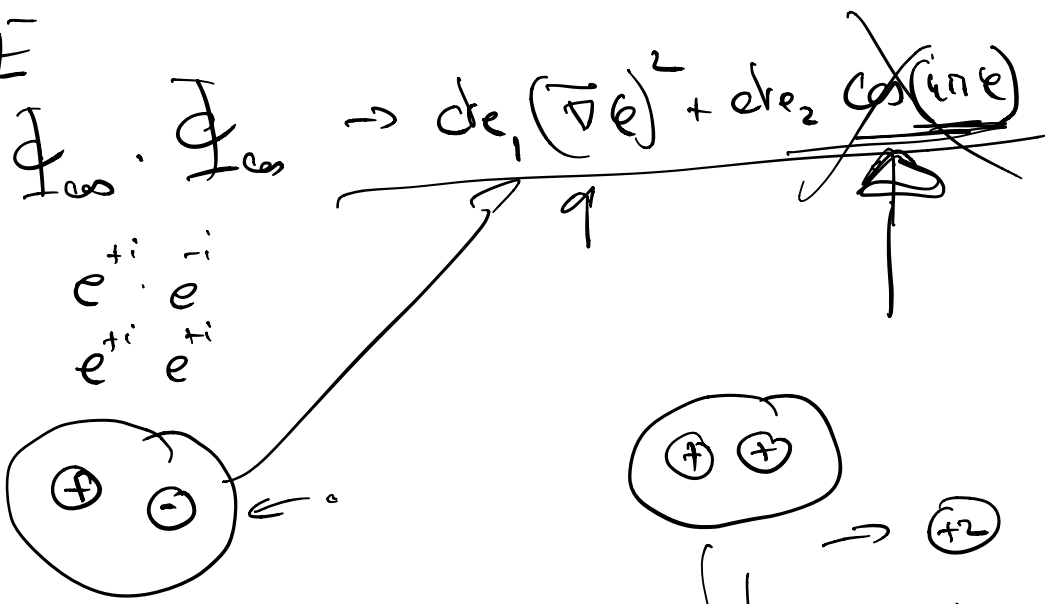
N.G.

$$\frac{dg}{d\epsilon} = \underbrace{(2 - \pi \hat{\beta})}_{g_{\text{es}} \text{ relevante}} g^+ - -$$

$\rightarrow g_{\text{es}} \text{ relevante} \text{ si } 2 - \pi \hat{\beta} > 0$

$$\Rightarrow 2 - \frac{\pi \beta}{k_B T} > 0 \Rightarrow T > \frac{\pi \beta}{2 \hbar \nu} = \frac{T_{\text{BKT}}}{T_{\text{KT}}}$$

O.P.E



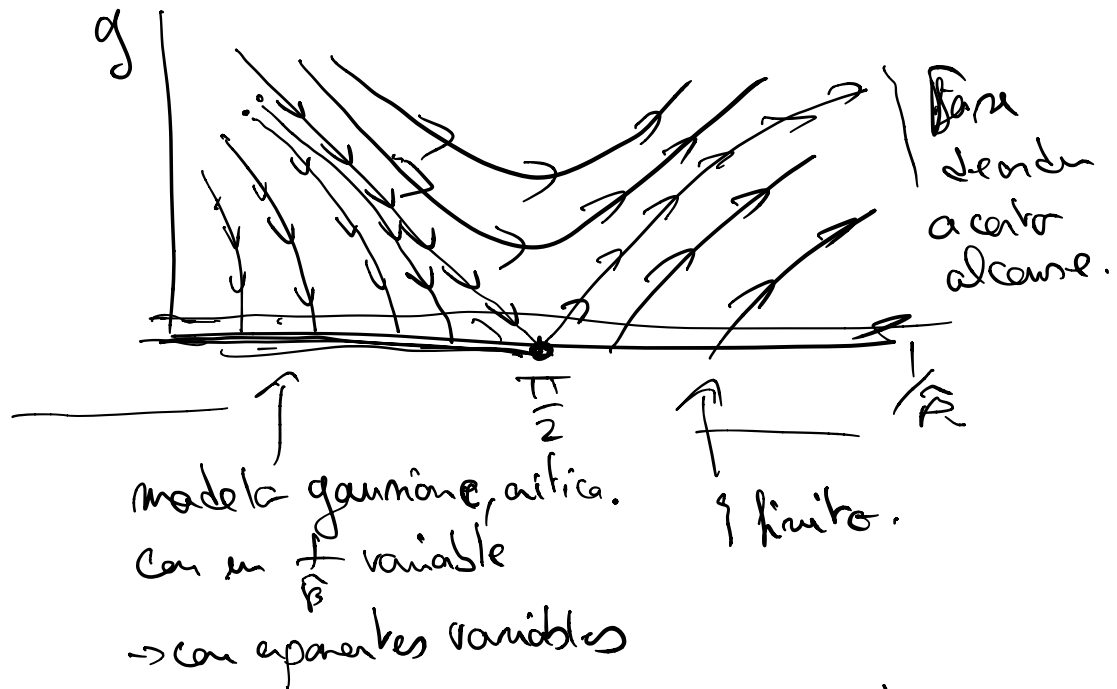
$$S = + \frac{1}{2\hat{\beta}} \int d\epsilon \left[(\nabla \epsilon)^2 + g_{\text{es}} \cos(2\pi e) \right] \frac{g_L \cos(\pi r/e)}{1 - \frac{g_S \cos(\pi r/e)}{1 - \frac{g_S \sin(\pi r/e)}{1 - \dots}}}$$

(a medida de escala de $\cos(2\pi e)$ aumenta como $n^2 \rightarrow$ los campos cada vez menos relevantes

eq d' N.G.

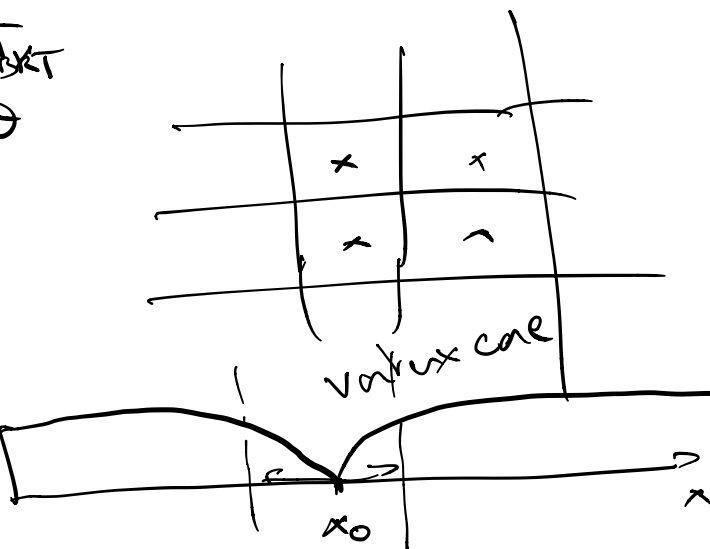
$$\frac{d}{dt} \left(\frac{f}{\tilde{\rho}} \right) = A g^2 + \dots$$

$$\frac{d}{dt} g = (2 - \tau_1 \tilde{\rho}) g + \mathcal{O}(g^3)$$



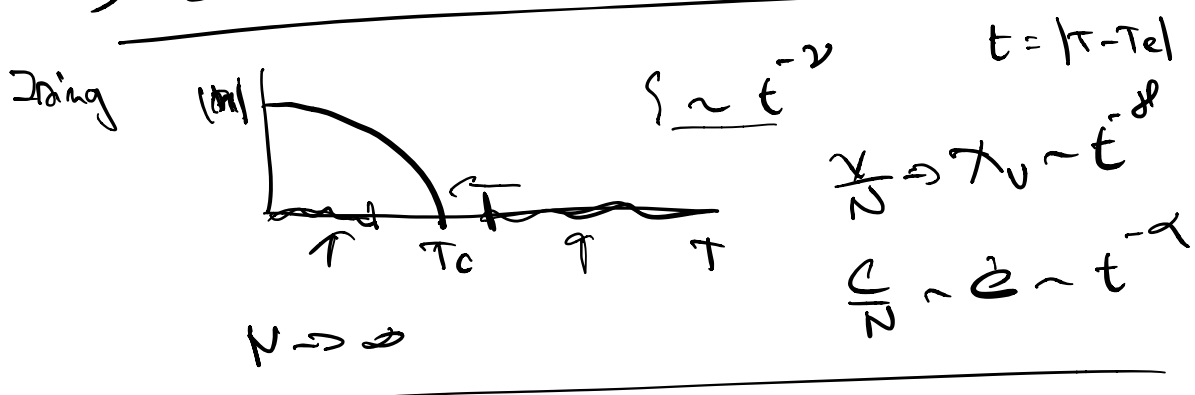
QLRD

Capas de He^4

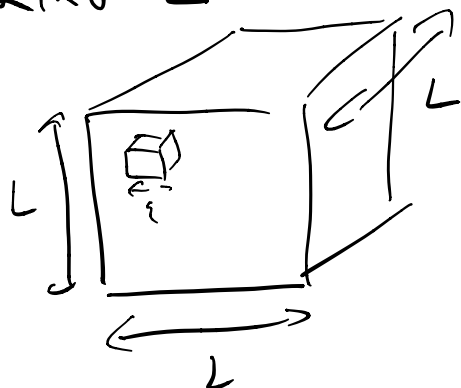


VI Temas Diversos

1) Escoleo en tamaño finito



→ tamaño L

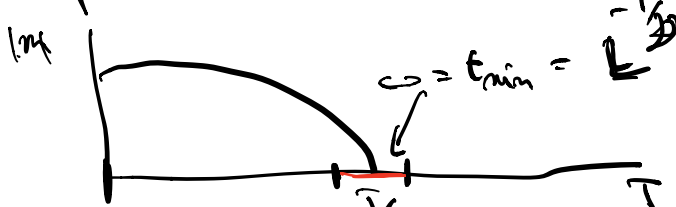


$$\begin{cases} \ll L \\ \rightarrow \text{comparar } L = \infty \end{cases}$$

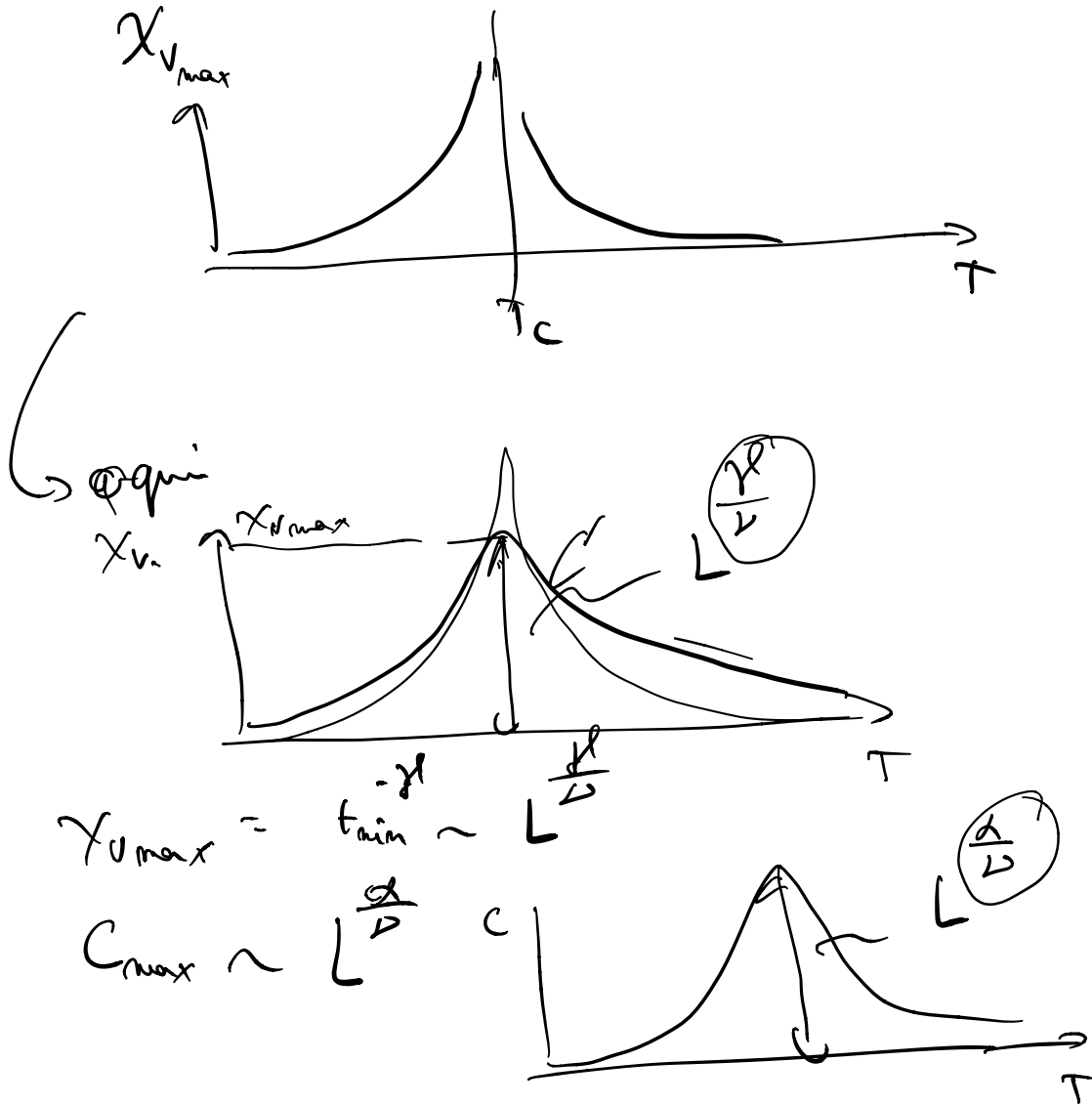
$$\text{si } t^{-\nu} \ll L$$

$$\text{pero si, } t^{-\nu} \sim L \text{ o } t \sim L^{\frac{1}{\nu}} \text{ área } \dot{\eta} \sim L$$

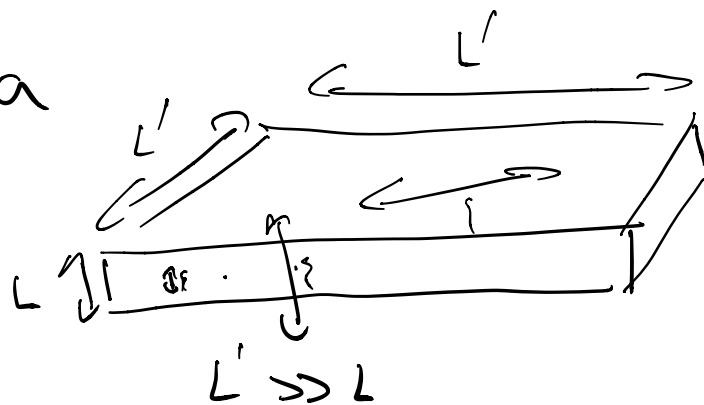
→ no se para a pedir estudiar el comportamiento
del sistema para escalas más grandes



\rightarrow Como χ_v^0 em $\{ = L \quad \epsilon \neq 0 \quad T \neq T_c$



Li akara



$\ell \ll L \rightarrow$ comportamiento 3-D

si $l \ll \ell \ll L \rightarrow$ comportamiento 2-D

Pero $T_{C_{3D}} \neq T_{C_{2D}}$

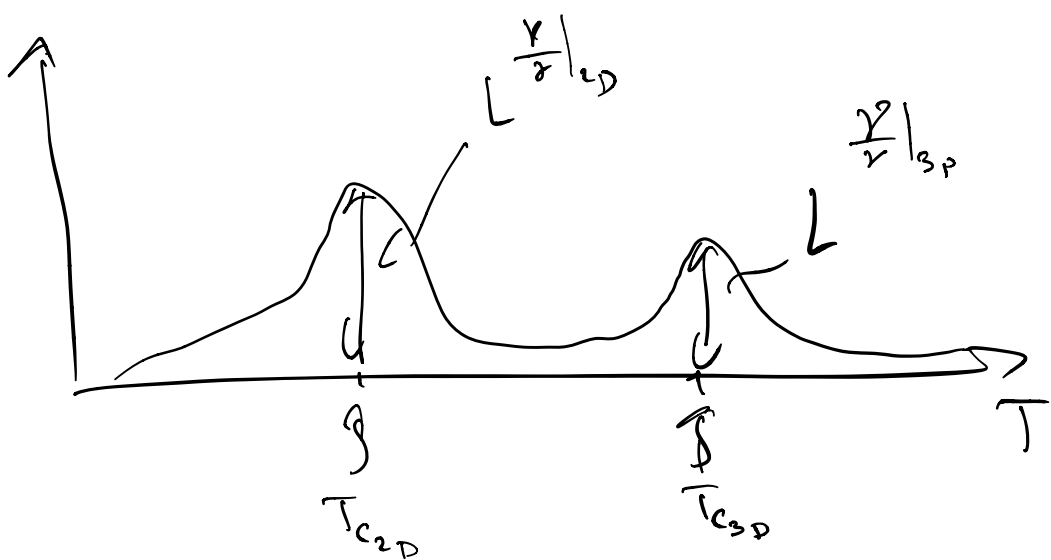
$\uparrow \quad \uparrow$

* si queremos a $T_{C_{3D}} \sim \frac{T}{\frac{\ell_{3D}}{L_{3D}}}$

$$\chi_{v_{max}} \sim L$$

* si queremos a $T_{C_{2D}} \sim \frac{T}{\frac{\ell_{2D}}{L_{2D}}}$

$$\chi_{v_{max}} \sim L$$



2) Sobre las fluctuaciones cuánticas

gases

estadística de M. B.



estadísticas cuánticas

B.E.

F.D.

$$\frac{p^2}{2m} \sim E \sim k_B T$$

$$P = k_B \sim \frac{h}{\lambda} \rightarrow J(T)$$

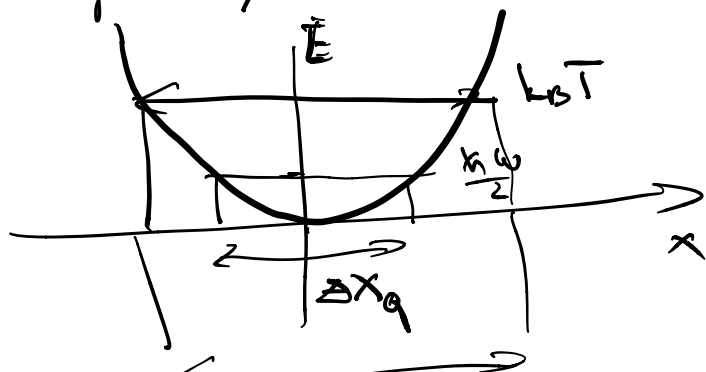
$$\begin{matrix} \alpha \\ \beta \\ \gamma \end{matrix} \quad \begin{matrix} \alpha \\ \beta \\ \gamma \end{matrix}$$

$$\gamma \sim \alpha$$

criticalidad para $T \sim T_c \neq 0$

→ Cuando tomas en cuenta las fluctuaciones cuánticas? inertiibas.

vs fluct. / caud. de origen térmico.



$$\xleftarrow{\Delta X_{Th.}}$$

$$\Delta X_{Th} \text{ vs } \Delta X_Q$$

$$\underline{k_B T} \text{ vs } \underline{\hbar\omega}$$

en general, para un sist. a temp. T
 Dónde las fluc. cuánticas de energías $E \geq \underline{k_B T}$

Debemos observar.

$$E \sim c_P^2 \quad z \text{ exponente dinámico.}$$

$$E = cP \quad z = 1$$

$$E = \frac{P^2}{2m} \quad z = 2$$

$$\Rightarrow P^2 \geq cte k_B T \quad \text{pero } P \sim \frac{\hbar}{t}$$

↓ longitud de onda

$$\Rightarrow \lambda^{-z} \geq cte T \Rightarrow \lambda \leq cte T^{-\frac{1}{z}}$$

en la vecindad de T_c

$$\lambda_{max} \sim T_c^{-\frac{1}{z}} \quad \text{pero } q \sim t^{-\nu} \rightarrow \infty$$

entonces $t \gg T_c$ ó $t \ll T_c$

$\rightarrow f \gg J_{\text{int}}$ → ~~descales de orden~~

$f \rightarrow$ normaliz. las incert./fluct. cuánticas

$T_c \neq 0$

\rightarrow que pasa si $T_c \rightarrow 0$???

\rightarrow aquí si, la naturaleza cuántica del
sist. es importante!

\rightarrow Transición de Fase Cuántica

Q.P.T.

TFC ???

sistema cuántico $\hat{H} |f_n\rangle = E_n |f_n\rangle$

$\{|f_n\rangle\}$ forman una base del esp. de estados.

$|f_0\rangle$ es el estado fund. (no degenerado)

$$E_0 < E_1 \leq E_2 \leq E_3 \dots$$

una TFC. \rightarrow es en cambiar en la naturaleza

de $\langle \hat{N}_0 \rangle$.

$$Z = \text{Tr} \left\{ e^{-\beta \hat{H}} \right\} = \sum_n \langle \psi_n | e^{-\beta \hat{H}} | \psi_n \rangle$$
$$= \sum_n e^{-\beta E_n}$$

\mathcal{O} observable

$$\langle \mathcal{O} \rangle = \frac{1}{Z} \text{Tr} \left\{ e^{-\beta \hat{H}} \mathcal{O} \right\}$$
$$= \frac{1}{Z} \sum_n \underbrace{e^{-\beta E_n}}_{\text{---}} \langle \psi_n | \mathcal{O} | \psi_n \rangle$$

in $T \rightarrow 0$? ($\beta \rightarrow \infty$)?

$$Z = \sum_n e^{-\beta E_n} = e^{-\beta E_0} + \sum_{n=1} e^{-\beta E_n}$$

$$= e^{-\beta E_0} \left(1 + \sum_{n=1} e^{-\beta (E_n - E_0)} \right)$$

$$\langle \mathcal{O} \rangle = \frac{e^{-\beta E_0} \langle \psi_0 | \mathcal{O} | \psi_0 \rangle + \sum_{n=1} \langle \psi_n | \mathcal{O} | \psi_n \rangle e^{-\beta E_n}}{e^{-\beta E_0} \left(1 + \sum_{n=1} e^{-\beta (E_n - E_0)} \right)}$$

$$\rho(\alpha) = \frac{\langle \psi_0 | \alpha | \psi_0 \rangle + \sum_{n=1}^{\infty} \langle \psi_n | \alpha | \psi_n \rangle e^{-\beta(E_n - E_0)}}{1 + \sum_{n=1}^{\infty} e^{-\beta(E_n - E_0)}}$$

$$\lim_{\beta \rightarrow \infty} \langle \alpha \rangle = \langle \psi_0 | \alpha | \psi_0 \rangle$$

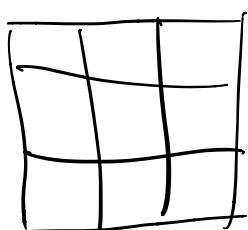
$$\hat{H}(g) \text{ f.g. } \hat{H}(g) | \psi_0 \rangle_{(g)} = E_0(g) | \psi_0 \rangle_{(g)}$$

Una T.F. c. es cuantera por un g.c.
 $|\psi_0\rangle_g$ cambia de Naturaleza.

Ejemplo:

El Modelado Imiting el campo transverso
 (T.F. I.M.)

Espines $\frac{1}{2}$ en una red cuadrada



$$\vec{s}_i + \vec{s}_1, \vec{s}_i = \pi \frac{2}{3} \left(\frac{1}{2} + 1 \right)$$

s_i^z desantivalea $\begin{pmatrix} +\frac{1}{2} \\ -\frac{1}{2} \end{pmatrix}$
 s_i^x, s_i^y idem.

$$\hat{H} = -\sum_{\langle i,j \rangle} S_i^z S_j^z + h \sum_i S_i^x$$

$$[S_\ell^a, S_k^b] = i \epsilon^{abc} S_\ell^c \delta_{\ell,k}$$

Minimizar \sum \rightarrow rotación de π alrededor

del eje "x" $S_i^x \rightarrow S_i^x$

$$\begin{aligned} \forall i \\ S_i^2 &\rightarrow \frac{1}{2} I^2 \\ S_i^y &\rightarrow -S_i^y \end{aligned}$$

$$\text{y } h=0 ?$$

$$|\psi_0\rangle = ? \quad |+\rangle_i \quad \text{los autoestados} \\ |\psi_0\rangle = ? \quad |-\rangle_i \quad \text{de } S_i^2$$

$$S_i^z |+\rangle_i = +\frac{1}{2} |+\rangle_i$$

$$S_i^z |-\rangle_i = -\frac{1}{2} |-\rangle_i$$

$$|\psi_0\rangle_1 = \prod_{(x)} |+\rangle_i \quad \begin{array}{c} \uparrow \uparrow \uparrow \uparrow \\ \downarrow \downarrow \downarrow \downarrow \end{array}$$

$$|\psi_0\rangle_2 = \prod_{(x)} |-\rangle_i \quad \begin{array}{c} \downarrow \downarrow \downarrow \downarrow \\ \uparrow \uparrow \uparrow \uparrow \end{array}$$

Cada $|N_0\rangle_\alpha$ rompe la simetría \mathcal{T}_c

$$\alpha = 1, 2$$

$$V_i \langle f_0 | S_j^z | N_0 \rangle_1 = + \frac{k}{2}$$

$$\langle f_0 | S_j^z | N_0 \rangle_2 = - \frac{k}{2}$$

o la no. extrema

$$J=0$$

$$\hat{H} \sim -\hbar \sum_j \frac{S_i^x}{r_j}$$

$$| \rightarrow \rangle_i \quad | \leftarrow \rangle_i$$

$$| \rightarrow \rangle_i = \frac{1}{r_2} (\underline{| \uparrow \rangle_i + | \downarrow \rangle_i})$$

$$| \leftarrow \rangle_i = \frac{1}{r_2} (\underline{| \uparrow \rangle_i - | \downarrow \rangle_i})$$

$$S_i^x | \rightarrow \rangle_i = + \frac{k}{2} | \rightarrow \rangle_i$$

$$S_i^x | \leftarrow \rangle_i = - \frac{k}{2} | \leftarrow \rangle_i$$

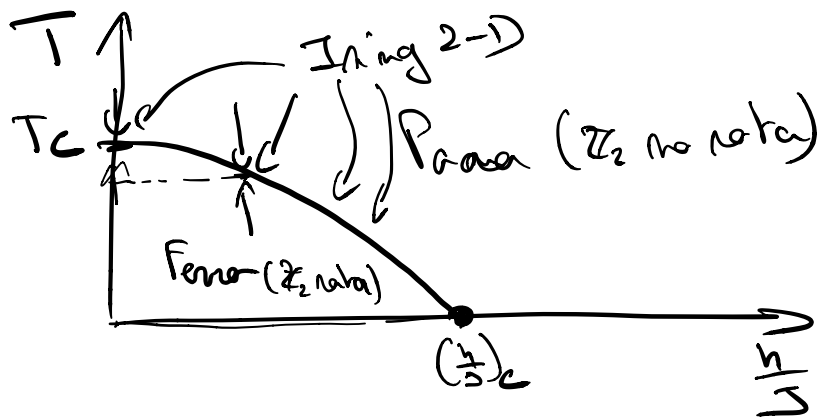
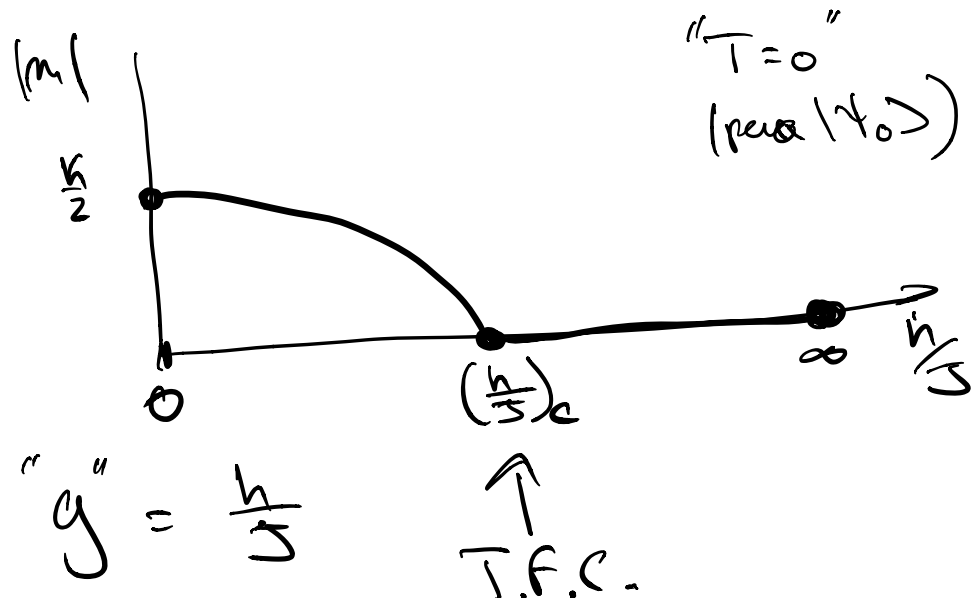
$$| N_0 \rangle = \prod_i | \rightarrow \rangle_i \text{ unico.}$$

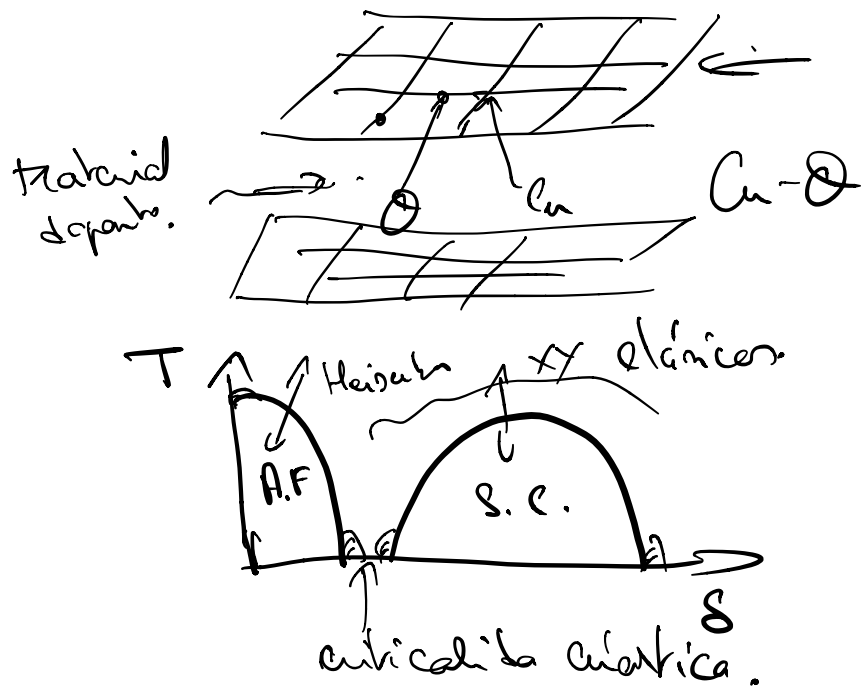
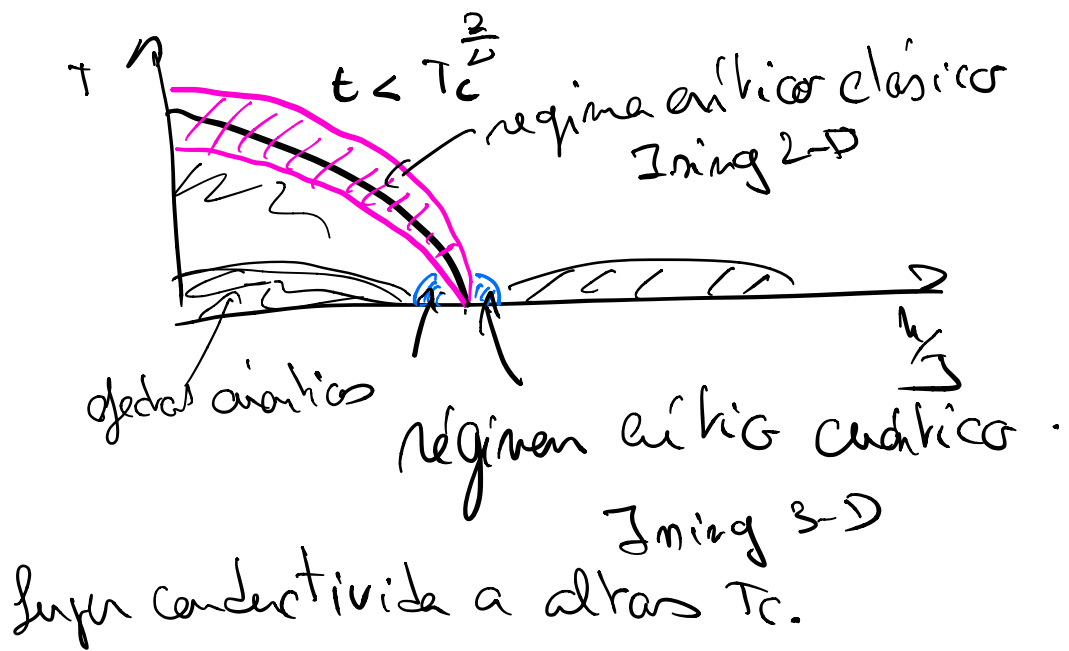
$|t_0\rangle$ no n.n.p. la sim. \mathbb{Z}_2

$$\forall j \quad \langle t_0 | S_j^2 | t_0 \rangle = 0$$

ya que $\leftrightarrow |S^2| \rightarrow = 0$

$$m = \langle t_0 | S_j^2 | t_0 \rangle$$





$$f = \sum_i s_i^x s_{i+1}^x - h \sum_i s_i^x$$

Diagram illustrating a 2D coordinate system with axes labeled T and R. A circular object is shown at the origin, with a vertical arrow pointing downwards from its center. The ratio of the vertical force to the horizontal force is labeled as 1. Below the horizontal axis, there is a bracketed expression involving S_i^2 and f_0 , with a note that it is not equal to zero.

$$\left\{ \begin{array}{l} \sim T^{-\nu} \\ \sim \frac{1}{L} \sim L \text{ vs } L' \end{array} \right.$$